

فصل ۲

انشعابات و خانواده‌ی لجستیک

در سال میلادی ۱۹۷۶^۱، یک زیست‌شناس جمعیت به نام رابت می^۱، یک مقاله‌ی مروری در مورد مدل‌های ریاضی ساده با دینامیک‌های بسیار پیچیده نوشت. او در مقاله‌اش گزارشی اصولی از آنچه که در آن زمان در مورد دینامیک نگاشته‌ای لجستیک و معادلات تفاضلی نظری آن‌ها شناخته شده بود، ارائه و همچنین چندین مسئله‌ی باز در مورد آنها مطرح کرد. مقدمه‌ی او با این عبارت به پایان رسید: «این بررسی را با یک درخواست برای معرفی این معادلات تفاضلی در دروس ریاضیات مقدماتی به پایان می‌رسانم. درک شهودی دانشجویان با دین رفتار غیرقابل باوری که معادلات غیرخطی ساده می‌توانند از خود بروز دهند، می‌تواند غنی‌تر شود.»

در این فصل به طور مفصل به بسیاری از ویژگی‌های نگاشته‌ای لجستیک که در مقاله‌ی او ارائه شده است، می‌پردازیم. بحث را با بررسی دامنه جذب نقاط ثابت این نگاشت‌ها شروع می‌کنیم؛ یعنی برای یک μ معین و نقطه ثابت $c = x$ ، مجموعه‌ای از $x \in [0, 1]$ را جستجو می‌کنیم که تحت تکرارهای نگاشت $L_\mu(x) = \mu x(1 - x)$ به c همگرا می‌شوند. این نگاشت‌ها برای نشان دادن بسیاری از ایده‌هایی که در فصل قبل با آن‌ها آشنا شدیم و همچنین برای ایجاد انگیزه در معرفی مفاهیم جدید در این فصل استفاده می‌شوند. مطالعه‌ی چگونگی تغییر ماهیت دینامیک چنین نگاشته‌هایی، هنگامی که پارامتر تغییر می‌کند، نظریه انشعاب نامیده می‌شود. نکته‌ی جالب در سراسر این بحث، این است که چگونه رفتار دینامیکی خانواده نگاشته‌ای مانند L_μ هنگامی که μ در محدوده‌ای از مقادیر افزایش می‌یابد، تغییر می‌کند.

دامنه جذب

فرض کنیم $f : I \rightarrow I$ تابعی تعریف شده بر بازه‌ی I باشد. در این صورت

تعريف. دامنه جذب نقطه ثابت c از نگاشت f را که با $B_f(c)$ نشان می‌دهیم، مجموعه‌ای از $x \in I$ هاست که برای آنها دنباله‌ی

$$x_n = f^n(x)$$

$$B_f(c) = \{x \in I \mid \lim_{n \rightarrow \infty} f^n(x) = c\}.$$

بزرگترین بازه‌ی شامل c و مشمول در دامنه جذب را دامنه جذب بالافصل c می‌نامیم و آن را با $W_f(c)$ نشان می‌دهیم.

¹Robert M. May

ابتدا نشان می‌دهیم که اگر c یک نقطه ثابت جاذب باشد، آنگاه $(c) \in W_f$ به عنوان زیرمجموعه‌ای از I باز است. شایان ذکر است که اگر I یک بازه‌ی بسته یا نیمه باز با نقاط انتهایی a و b باشد که $a < b$ باشد که $J \subseteq I$ به عنوان یک زیرمجموعه از I باز است هرگاه تمام I یا یک بازه‌ی باز و یا برای عددی مانند d که $a < d < b$ ، به صورت $[a, d)$ یا $(a, d]$ باشد.

گزاره ۳. فرض کنیم $I \rightarrow f$ تابعی پیوسته بر زیر بازه‌ی I از اعداد حقیقی، شامل نقطه ثابت جاذب c از f باشد. در این صورت $(c) \in W_f$ به عنوان زیرمجموعه‌ای از I ، باز است.

اثبات. ابتدا فرض کنیم I یک بازه‌ی باز باشد. از آنجا که c یک نقطه ثابت جاذب است، عدد $\varepsilon > 0$ وجود دارد به طوری که برای هر $x \in W_f(c)$ $\lim_{n \rightarrow \infty} f^n(x) = c$ ، $x \in I_\varepsilon = (c - \varepsilon, c + \varepsilon)$

$$\cdot \lim_{n \rightarrow \infty} f^n(x) = c$$

فرض کنیم $W_f(c) = [a, b]$ یک بازه‌ی بسته باشد. در این صورت عدد طبیعی r موجود است به طوری که $\in I_\varepsilon \cap W_f(c)$. تابع f^r نیز پیوسته است. بنابراین نقاطی که در همسایگی a هستند نیز به I_ε نگاشته می‌شوند که منجر به تناقض می‌شود. به بیان دقیق‌تر، برای

$$\eta = \min\{|f^r(a) - (c - \varepsilon)|, |(c + \varepsilon) - f^r(a)|\},$$

عدد $\delta > 0$ چنان موجود است که اگر $\delta < \eta$ ، آنگاه $|x - a| < \delta \Rightarrow |f^r(x) - f^r(a)| < \eta$. بنابراین نقاطی نظیر $a < x$ در همسایگی a وجود دارند که $f^r(x) \in I_\varepsilon$ ؛ یعنی $\lim_{n \rightarrow \infty} f^{rn}(x) \rightarrow c$. برهان مشابه نشان می‌دهد که $f^r(b) \notin W_f(c)$ و از این رو $W_f(c)$ یک بازه‌ی باز است.

اگر I یک بازه‌ی بسته مانند $I = [a, b]$ باشد و $c \in (a, b)$ ، آنگاه استدلال بالا هنوز معتبر است با این تفاوت که نمی‌توانیم این احتمال که a یا b (یا هر دو) به دامنه جذب بلافصل تعلق دارند را رد کنیم. هنگامی که $c = a$ ، دامنه جذب بلافصل به شکل $[a, d)$ است. برهان مشابه زمانی که $c = b$ و همچنین زمانی که I یک بازه‌ی نیمه‌باز است، به کار برده می‌شود. \square

دامنه جذب یک نقطه ثابت، ویژگی جالب دیگری دارد که برای بیان آن به تعریف زیر نیاز داریم:

تعریف. مجموعه‌ی $I \subseteq J$ یک مجموعه‌ی پایا برای دستگاه دینامیکی (f, I) است هرگاه داشته باشیم $f(J) \subseteq J$.

در گزاره‌ی بعد نشان می‌دهیم دامنه جذب نقطه ثابت c از f ، یک مجموعه‌ی پایا تحت f است.

گزاره ۴. فرض کنیم $I \rightarrow f$ تابعی پیوسته تعریف شده بر بازه‌ی I با نقطه ثابت $c \in I$ باشد.

(آ) دامنه جذب $B_f(c)$ تحت f پایاست.

(ب) اگر c یک نقطه ثابت جاذب از f باشد، آنگاه $W_f(c)$ تحت f پایاست.

اثبات. آ) فرض کنیم $\lim_{n \rightarrow \infty} f(f^n(x)) = f(c) = c$. بنا به پیوستگی f داریم $\lim_{n \rightarrow \infty} f^n(x) = x \in B_f(c)$. به عبارت دیگر، $\lim_{n \rightarrow \infty} f^n(f(x)) = c$. پس $\lim_{n \rightarrow \infty} f^n(f(x)) = c$

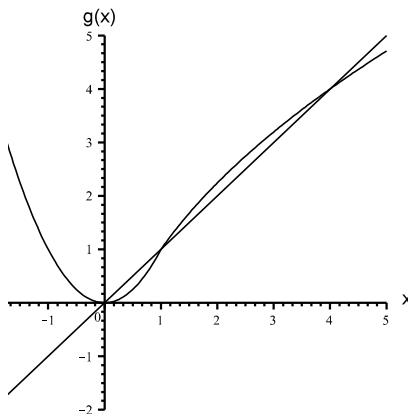
(ب) اثبات قسمت دوم را به عنوان تمرین به دانشجو و آگذار می‌کنیم (راهنمایی: کافیست دقت کنید که تصویر هر بازه تحت یک تابع پیوسته، یک بازه خواهد بود).

مثال. گیریم $f(x) = x^2$. در این صورت $c = 0$ و $c = 1$ نقاط ثابت این نگاشت هستند. از آنجا که $f'(0) = 2$ و $f'(1) = 0$ هر دو نقطه ثابت هنلولوی اند که $c = 0$ مجاني پایدار و $c = 1$ ناپایدار است. به وضوح $B_f(0) = \{-1, 1\}$ و $B_f(1) = (-1, 1)$ را اغلب $c = \infty$ را به عنوان نقطه ثابت جاذب از f در نظر می‌گیریم. بنابراین $B_f(\infty) = [-\infty, -1) \cup (1, \infty)$ (این مطلب در فصل‌های بعد بیشتر توضیح داده خواهد شد).

مثال. نگاشت $[g : [-2, 4] \rightarrow [-2, 4]]$ را با ضابطه

$$g(x) = \begin{cases} x^2 & -2 \leq x \leq 1, \\ 3\sqrt{x} - 2 & 1 < x \leq 4, \end{cases}$$

در نظر می‌گیریم (شکل ۱۰.۲). نگاشت g دارای سه نقطه ثابت $c_1^* = 0$, $c_2^* = 1$ و $c_3^* = 4$ است. به سادگی می‌توان نشان داد که $W_g(4) = (1, 4)$, $W_g(0) = B_g(0) = (-1, 1)$, $B_g(4) = [-2, -1) \cup (1, 4]$ و $B_g(0) = (-1, 1)$.



شکل ۱۰.۲: نمودار g .

تنزک. ملاحظه کنید که در مثال قبل دامنه جذب دو نقطه ثابت $c_1^* = 0$ و $c_3^* = 4$ جدا ازهم هستند که یک اتفاق تصادفی نیست و در حالت کلی با توجه به یکتاپی حد یک دنباله درست است.

شایان ذکر است که یافتن دامنه جذب یک نقطه ثابت در حالت کلی کار ساده‌ای نیست. مؤثرترین روش برای تعیین دامنه جذب، روش تابع لیاپانوف^۲ است که در فصل‌های بعد شرح داده خواهد شد.

²Liapunov

مثال. نگاشت $I \rightarrow I$ با ضابطه $f(x) = x^2 + 1/4$ را در نظر می‌گیریم. تنها نقطه ثابت این نگاشت $c = \frac{1}{2}$ است که یک نقطه ثابت غیرهذلولوی نیمه پایدار از چپ است. چون $c = \frac{1}{2}$ جاذب نیست، گزاره‌ی ۳ را نمی‌توان برای آن به کار برد. برای یافتن دامنه جذب این نقطه ثابت، به روش زیر عمل می‌کنیم.

اگر $x \neq \frac{1}{2}$ ، آنگاه $x > \frac{1}{2}$ (این نامعادله متناظر با $(2x - 1)^2 < 0$) است) و در چنین حالتی بنا به استقرا خواهیم دید که $f^n(x)$ یک دنباله‌ی صعودی است. به علاوه اگر $\frac{1}{2} < x$ ، آنگاه $\frac{1}{2} < f(x) < x$ و بنا به استقرا برای هر عدد طبیعی n داریم $\frac{1}{2} < f^n(x) < x$. پس نتیجه می‌شود برای $\frac{1}{2} < x$ ، دنباله‌ی تکرارهای $f^n(x)$ صعودی و از بالا کراندار است. پس به یک نقطه ثابت نگاشت همگرایست. از آنجا که $c = \frac{1}{2}$ تنها نقطه ثابت نگاشت است برای $\frac{1}{2} < x$ داریم $\lim_{n \rightarrow \infty} f^n(x) = \frac{1}{2}$. بنابراین از آنجا که f در سمت راست نقطه ثابت ناپایدار است، نتیجه می‌گیریم $B_f(\frac{1}{2}) = (-\infty, \frac{1}{2}]$.

مثال. نگاشت لجستیک $[0, 1] \rightarrow [0, 1]$ با ضابطه $L_\mu(x) = \mu x(1 - x)$ در نظر می‌گیریم. در این صورت برای $\mu = 1$ یک نقطه ثابت است که از راست مجانی پایدار و از چپ ناپایدار است. در این حالت همچنان گزاره‌ی ۳ را نمی‌توان به کار برد و از آن نتیجه گرفت که دامنه جذب بلافصل $c = 0$ ، برای عددی مانند $d < c$ ، بازه‌ای به صورت $(d, 1)$ و یا برابر با $[0, 1]$ است. در بخش بعد نشان می‌دهیم که برای این مثال، دامنه جذب بلافصل $c = 0$ ، دقیقاً بازه‌ی $[0, 1]$ است.

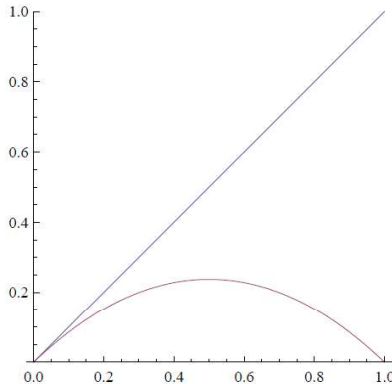
۱.۲ خانواده‌ی نگاشت‌های لجستیک

نگاشت‌های لجستیک $L_\mu(x) = \mu x(1 - x)$ توابعی از دو متغیر حقیقی x و μ هستند که x را به بازه‌ی $[0, 1]$ و μ را به بازه‌ی $(0, 4]$ محدود می‌کنیم تا یک دستگاه دینامیکی بر $[0, 1]$ به دست آوریم. پارامتر μ را تغییر می‌دهیم و سپس تابع L_μ را برای مقدار ثابت و معین از پارامتر مطالعه می‌کنیم. هنگامی که پارامتر μ تغییر می‌کند، شاهد تغییر در ماهیت تابع L_μ متناظر خواهیم بود که به آن انشعاب می‌گوییم: برای مثال اگر $1 \leq \mu < 0$ ، آنگاه L_μ دقیقاً یک نقطه ثابت در $[0, 1]$ دارد که نقطه‌ی 0 و مجانی پایدار است. هنگامی که μ افزایش می‌یابد و مقادیر بزرگتر از یک را اختیار می‌کند، یک نقطه ثابت جدید $c = 1 - 1/\mu$ در $[0, 1]$ ایجاد می‌شود. بنابراین اکنون L_μ دو نقطه ثابت دارد که نقطه ثابت $c = 0$ ناپایدار و $c = 1 - 1/\mu$ پایدار است. در $3 = \mu$ ، ماهیت نقاط ثابت تغییر می‌کند. در این بخش، دامنه جذب نقاط ثابت را با افزایش μ از 0 تا 3 تعیین می‌کنیم. خواهیم دید که دینامیک (رفتار طولانی مدت) تکرارهای $L_\mu(x)$ برای این محدوده از مقادیر μ کاملاً خوش رفتار است.

تابع $L_\mu(x) = \mu x(1 - x)$ ، $0 \leq x \leq 1$ ، ماسیم مقدارش را که برابر با $4/\mu$ است، در $x = \frac{1}{2}$ اختیار می‌کند. در نتیجه، برای $4 \leq \mu < \mu$ بازه‌ی واحد $[0, 1]$ را بر خودش می‌نگارد. بعداً آنچه را که به ازای $4 > \mu$ اتفاق می‌افتد، بررسی خواهیم کرد. با نشان دادن این که دامنه جذب L_μ ، برای $1 \leq \mu < 0$ کل دامنه‌ی L_μ ، یعنی $[0, 1]$ است، شروع می‌کنیم. در این حالت 0 را جاذب سراسری می‌نامیم.

قضیه. نگاشت لجستیک $B_{L_\mu}(0) = [0, 1]$ در نظر می‌گیریم. اگر $1 < \mu \leq 3$ در نظر می‌گیریم. اگر $1 < \mu \leq 3$ و $B_{L_\mu}(1 - 1/\mu) = (0, 1)$ ، آنگاه $1 < \mu \leq 3$

اثبات. ابتدا فرض کنیم $1 \leq \mu < 0$. برای $(0, 1) \in \mu$ دیدیم که تنها نقطه ثابت L_μ در $[0, 1]$ ، $x = 0$ است (نقطه ثابت دیگر $1 - 1/\mu$ در $[0, 1]$ واقع نمی‌شود) که مجانبی پایدار است (به طور دقیق‌تر فقط در سمت راست مجانبی پایدار است، اما چون L_μ را به $[0, 1]$ محدود کردیم، این نقطه ثابت را مجانبی پایدار در نظر نمی‌گیریم). از سوی دیگر برای $1 < x < 0$ داریم $1 - x < 1 < x$ و از آنجا که $\mu \leq 1$ ، پس $0 < L_\mu(x) = \mu x(1-x) < x < 1$ در نتیجه $0 < L_\mu^2(x) < L_\mu(x)$ و با ادامه‌ی این روند در می‌یابیم که دنباله‌ی $(L_\mu^n(x))$ نزولی و از پائین به صفر کراندار است. در نتیجه باید به تنها نقطه ثابت نگاشت یعنی ۰ همگرا شود. حال چون $L_\mu(0) = 0$ ، پس $B_{L_\mu}(0) = [0, 1]$.



شکل ۲.۲: برای $1 < \mu < 0$ تنها نقطه ثابت نگاشت L_μ است.

حال فرض می‌کنیم $3 \leq \mu < 1$. دیدیم که برای $1 > \mu$ ، نقطه ثابت $x = 0$ ناپایدار است، اما نقطه ثابت $c = 1 - 1/\mu$ درون بازه‌ی $[0, 1]$ قرار می‌گیرد و برای $3 \leq \mu < 1$ مجانبی پایدار است. توجه کنید که $B_\mu(1 - 1/\mu) \not\subset [0, 1]$ ، چون $0 < B_\mu(1 - 1/\mu) < 1$ و $L_\mu(0) = 0$. بنابراین $I = (a, b)$ شامل نقطه $c = 1 - 1/\mu$ نیست و در این صورت بنا بر گزاره‌های ۳ و ۴، دامنه جذب بالاصل این نقطه، بازه‌ی چون $I = (a, b)$ شامل خواهد بود با این ویژگی که $I \subseteq L_\mu(I)$.

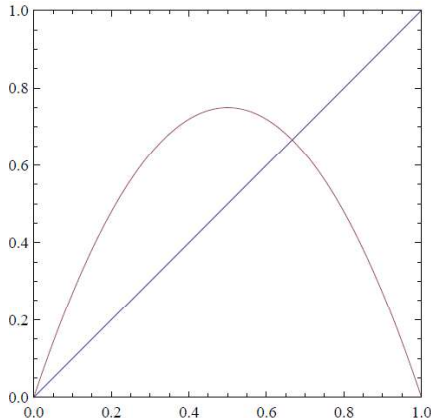
فرض کنیم $\{x_n\}$ دنباله‌ای در (a, b) باشد. از پیوستگی L_μ داریم $\lim_{n \rightarrow \infty} L_\mu(x_n) = L_\mu(a)$. از آنجایی که برای هر $n \in \mathbb{N}$ $x_n \in (a, b)$ پس برای هر $n \in \mathbb{N}$ $L_\mu(x_n) \in (a, b)$. حال چون $L_\mu(a) \notin (a, b)$ ، پس تنها حالات ممکن $L_\mu(a) = a$ یا $L_\mu(a) = b$ است. این استدلال به طور مشابه برای b نیز برقرار است. بنابراین یکی از حالت‌های زیر را می‌توان برای a و b متصور شد.

(آ) a و b نقاط ثابت نگاشت باشند؛ یعنی $L_\mu(a) = a$ و $L_\mu(b) = b$

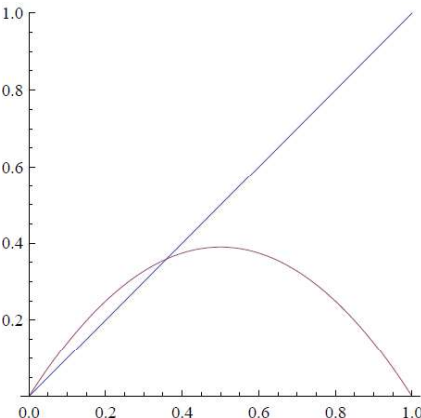
(ب) $L_\mu(a) = a$ و $L_\mu(b) = b$ (در این حالت $\{a, b\}$ یک ۲-دور نامیده می‌شود) یا؛

(پ) a و b نقاط در نهایت ثابت هستند؛ یعنی $L_\mu(a) = a$ ، $L_\mu(b) = b$ یا $L_\mu(a) = b$ ، $L_\mu(b) = a$

به وضوح (آ) برقرار نیست و نشان خواهیم داد که (ب) نیز نمی‌تواند اتفاق بیفت. بنابراین (پ) باید برقرار باشد و این منجر به این نتیجه خواهد شد که $a = 0$ و $b = 1$ ، زیرا هیچ نقطه ثابت یا نقطه در نهایت ثابت دیگری در $[0, 1]$ وجود ندارد که بتواند این شرایط را برآورده کند. در نتیجه، باید داشته باشیم $B_\mu(1 - 1/\mu) = (0, 1)$.



. $c = 1 - \frac{1}{\mu} \geq \frac{1}{2}$ ، آنگاه $2 \leq \mu \leq 3$ (ب)



. $c = 1 - \frac{1}{\mu} < \frac{1}{2}$ ، آنگاه $1 < \mu < 2$ (ج)

شکل ۳.۲: نگاشت لجستیک برای $\mu \leq 3$.

فرض کنیم ب) برای a و b برقرار باشد. می‌توان نشان داد که

$$L_\mu^2(x) - x = x(\mu^2 x^2 - \mu(\mu + 1)x + \mu + 1)(\mu x - \mu + 1).$$

a و b باید در این معادله صدق کنند (چرا؟). برای تعیین a و b ، می‌توانیم عوامل خطی را نادیده بگیریم، چون عوامل خطی دو نقطه ثابت نگاشت را می‌دهند. مبین عامل درجه دوم برای $3 < \mu < 1$ برابر است با

$$\mu^2(\mu + 1)^2 - 4\mu^2(\mu + 1) = \mu^2(\mu + 1)(\mu - 3) < 0.$$

بنابراین برای $3 < \mu < 1$ ، معادله $L_\mu^2(x) - x = 0$ جواب ندارد (به ویژه a یا b ریشه‌ی x نیستند). همچنین برای $\mu = 3$ ، مبین برابر صفر و ریشه‌ی عامل درجه دوم نقطه ثابت $c = 2/3$ است و ریشه‌ی دیگری وجود ندارد. بنابراین برای $3 < \mu < 1$ هم هیچ ۲-دوری وجود ندارد. بنابراین ب) نمی‌تواند برقرار باشد. \square

نتیجه: زیست شناسان جمعیت نگاشت لجستیک را به عنوان مدلی برای رشد انواع مختلف جمعیت پیشنهاد کردند. برای L_μ با $0 < \mu \leq 1$ ، نتایج این بخش نشان می‌دهد که اگر یک جمعیت اولیه $(x_0) \in (0, 1)$ داشته باشیم، آنگاه $\lim_{n \rightarrow \infty} L_\mu^n(x_0) = 0$ و بنابراین جمعیت به سرعت از منقرض می‌شود. از سوی دیگر، اگر $3 \leq \mu < 1$ ، جمعیت به نقطه ثابت $c = 1 - 1/\mu$ رسید، که در آن c جواب معادله $L_\mu(x) = x$ یعنی نقطه ثابت L_μ است. در بخش‌های بعد، آنچه را که وقتی $3 > \mu$ ، برای جمعیت رخ می‌دهد، بررسی خواهیم کرد.

۲.۲ نقاط تناوبی

در مطالعه‌ی دستگاه‌های دینامیکی نقاطی که مدارهای متناهی دارند، بسیار حائز اهمیت هستند. دیدیم که نقاط ثابت از یک دستگاه دینامیکی ممکن است رفتار بلند مدت دستگاه را تعیین کنند. اگر یک نگاشت پیوسته تعداد متناهی نقطه ثابت داشته باشد (نقاط ثابت را می‌توان تناوبی با دوره تناوب یک در نظر گرفت) و نقاطی با تناوب‌های بالاتر نداشته باشد، به نظر می‌رسد که تکرارها به یکی از نقاط ثابت همگرا

می‌شوند و بنابراین مطالعه‌ی رفتار بلندمدت بدون پیچیدگی خواهد بود (اغلب ∞ را نیز به عنوان یک نقطه ثابت در نظر می‌گیریم). همین امر ممکن است برای نقاطی با دوره تناوب 2 یا نقاطی با تناوب بالاتر نیز صادق باشد. معمولاً رفتار آشوبناک یا غیرقابل پیش‌بینی در طولانی مدت زمانی رخ می‌دهد که نگاشت بینهایت نقطه‌ی تناوبی با تناوب‌های متفاوت داشته باشد.

تعريف. فرض کنیم $f : I \rightarrow I$ یک دستگاه دینامیکی باشد و $c \in I$.

(آ) گوییم c نقطه‌ی تناوبی $f(x)$ با دوره تناوب $r \in \mathbb{N}$ است، هرگاه $f^r(c) = c$ و برای هر $0 < k < r$ $f^k(c) \neq c$ (به عبارت $f^k(c) \neq c$ ، $0 < k < r$ است، هرگاه $f^r(c) = c$ و برای هر $r \in \mathbb{N}$ است، هرگاه $f^r(c) = c$ و برای هر $0 < k < r$ $f^k(c) \neq c$).

دیگر، c نقطه ثابت f^r است. در این صورت مجموعه‌ی

$$\mathcal{O}(c) = \{c, f(c), f^2(c), \dots, f^{r-1}(c)\},$$

یک r -دور برای f نامیده می‌شود. تعريف می‌کنیم

$$Per_r(f) := \{x \in I | f^r(x) = x\}.$$

در این صورت برای هر عدد طبیعی n ، زیرا اعضای $Per_n(f) \subseteq Per_r(f)$ ممکن است از دوره تناوب n نبوده و دوره تناوب کمتری داشته باشند.

(ب) گوییم c نقطه‌ی در نهایت تناوبی f است، هرگاه c نقطه تناوبی نباشد اما $m \in \mathbb{N}$ چنان موجود باشد که $f^m(c)$ نقطه‌ی تناوبی باشد.

(پ) گوییم c یک نقطه‌ی r -تناوبی f باشد. در این صورت c پایدار است، هرگاه به عنوان نقطه ثابت f^r پایدار باشد (به همین ترتیب مجانبی پایدار، ناپایدار و ...).

قضیه‌ی زیر محکی برای پایداری نقاط متناوب ارائه می‌دهد که بلافاصله از قضایایی که پیش از این داشتیم به دست می‌آید.

قضیه. فرض کنیم c یک نقطه‌ی r -تناوبی f باشد و $f'(x) = c$ در $x = c$ پیوسته باشد. اگر برای $i = 0, 1, \dots, r-1$ قواردهیم $c_i = f^i(c)$

(آ) نقطه‌ی c مجانبی پایدار است هرگاه

$$|f'(c_0)f'(c_1)f'(c_2) \cdots f'(c_{r-1})| < 1.$$

(ب) نقطه‌ی c ناپایدار است هرگاه

$$|f'(c_0)f'(c_1)f'(c_2) \cdots f'(c_{r-1})| > 1.$$

اثبات. به عنوان نمونه حالت $r = 3$ را اثبات می‌کنیم. در این حالت $c = f^3(c)$ و

$$\mathcal{O}(c) = \{c, f(c), f^2(c)\} = \{c_0, c_1, c_2\}.$$

نقطه‌ی $x = c$ را به عنوان نقطه ثابت نگاشت f^3 در نظر می‌گیریم. به کمک مشتق زنجیره‌ای در تکرار سوم داریم

$$\frac{d}{dx}(f^3(x)) = \frac{d}{dx}(f(f^2(x))) = f'(f^2(x))(f^2(x))' = f'(f^2(x))f'(f(x))f'(x)|_{x=c} = f'(c_2)f'(c_1)f'(c_0).$$

حا حکم از قضیه ۵.۱ که برای پایداری نقاط ثابت داشتیم، به دست می‌آید.

مثال. تابع درجه دوم $f(x) = x^2 - 2$ را در نظر می‌گیریم. نقاط ثابت این نگاشت از حل معادله $x = f(x)$ یا به طور معادل $x^2 - x - 2 = 0$ به دست می‌آیند که عبارتند از $x = -1$ و $x = 2$.

برای تعیین نقاط ۲-تناوبی، معادله $x = f^2(x)$ یا به طور معادل $f^2(x) - x = 0$ را حل می‌کنیم. حل این معادله از آنجا که می‌دانیم نقاط ثابت جواب‌هایی از آن هستند، چندان دشوار نیست. زیرا $(x-2)(x+1)$ عاملی از معادله مذکور است و بنابراین

$$f^2(x) - x = x^4 - 4x^2 - x + 2 = (x-2)(x+1)(x^2+x-1).$$

ریشه‌های عامل درجه دوم معادله اخیر $x = \frac{-1+\sqrt{5}}{2}, \frac{-1-\sqrt{5}}{2}$ هستند. بنابراین یک ۲-دور است. توجه کنید که در حالت کلی، یافتن نقاط ۲-تناوبی یک نگاشت درجه دو می‌تواند پیچیده باشد؛ در حقیقت اگر $f(x)$ یک تابع درجه دو باشد، آنگاه $x = f^n(x)$ یک چندجمله‌ای درجه n^2 است. برای بررسی پایداری ۲-دور مذکور، از آنجا که

$$|f'(\frac{-1+\sqrt{5}}{2})f'(\frac{-1-\sqrt{5}}{2})| = |(-1+\sqrt{5})(-1-\sqrt{5})| = |1-5| = 4 > 1,$$

در می‌یابیم که $\{\frac{-1+\sqrt{5}}{2}, \frac{-1-\sqrt{5}}{2}\}$ یک ۲-دور ناپایدار است.

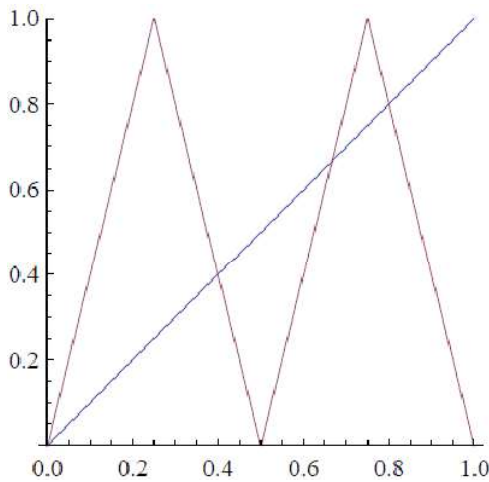
مثال. نگاشت چادر $T(x) = 1 - 2|x - \frac{1}{2}|$ دو نقطه ثابت در $c = 0$ و $c = \frac{2}{3}$ دارد. نمودار T^2 نشان می‌دهد که T^2 دارای چهار نقطه ثابت است که با استفاده از ضابطه ای

$$T^2(x) = \begin{cases} 4x & 0 \leq x < \frac{1}{4} \\ 2(1-2x) & \frac{1}{4} \leq x < \frac{1}{2} \\ 4(x-\frac{1}{2}) & \frac{1}{2} \leq x < \frac{3}{4} \\ 4(1-x) & \frac{3}{4} \leq x \leq 1 \end{cases}$$

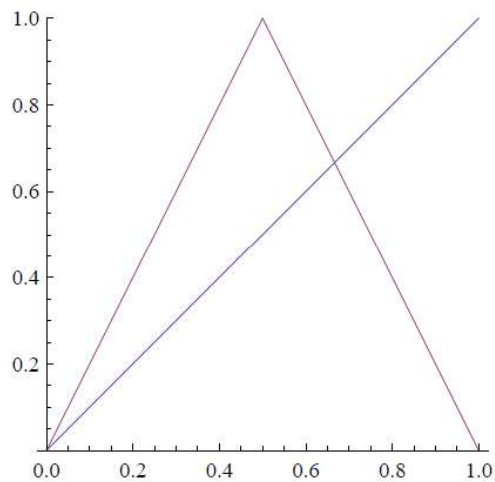
در می‌یابیم که از ۲-دور $\{\frac{2}{5}, \frac{4}{5}\}$ و دو نقطه ثابت T حاصل می‌شوند. از آنجا که $|T'(x)| = 4$ و $|T'(T(x))| = 4$ و ... (به جز در نقاط غیر مشتق‌پذیر)، همه نقاط ۲-تناوبی ناپایدار هستند. با رسم نمودار T^3 ، متوجه می‌شویم که این نگاشت هشت نقطه ثابت دارد که از ۳-دور $\{\frac{2}{7}, \frac{4}{7}, \frac{6}{7}\}$ و $\{\frac{2}{9}, \frac{4}{9}, \frac{8}{9}\}$ همراه با دونقطه ثابت نگاشت T ناشی می‌شوند. بنابراین

$$Per_3(f) = \{x \in I | f^3(x) = x\} = \{0, \frac{2}{3}, \frac{2}{7}, \frac{4}{7}, \frac{6}{7}, \frac{2}{9}, \frac{4}{9}, \frac{8}{9}\}.$$

توجه کنید که نقطه‌ی $\frac{3}{5}$ یک نقطه‌ی درنهایت ۲-تناوبی است؛ زیرا $\frac{4}{5} \rightarrow \frac{2}{5} \rightarrow \frac{3}{5}$. علاوه بر این $\frac{3}{7}$ یک نقطه‌ی درنهایت ۳-تناوبی است؛ زیرا $\frac{3}{7} \rightarrow \frac{6}{7} \rightarrow \frac{2}{7} \rightarrow \frac{4}{7}$.



(ب) مجموعه‌ی $\{\frac{2}{5}, \frac{4}{5}\}$ -دور نگاشت چادر است.



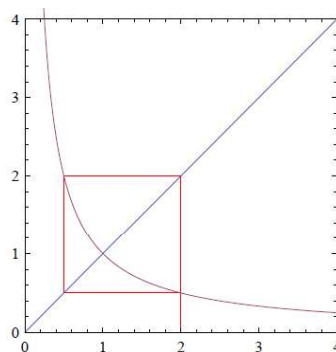
(آ) نگاشت چادر دو نقطه ثابت در $c = \frac{2}{3}$ دارد.

شکل ۴.۲: نقاط ثابت و ۲-تناوبی نگاشت چادر

مثال. نگاشت $f(x) = 1/x$ را برای $x \neq 0$ در نظر می‌گیریم. برای هر $x \neq \pm 1$ از آنجا که $f(x) = x$ و $f^2(x) = x$ ، پس چنین مقادیری از x ، باعث ایجاد ۲-دور $\{x, 1/x\}$ می‌شود. در این حالت

$$|f'(x) f'(1/x)| = |(-1/x^2)(-x^2)| = 1,$$

بنابراین از قضیه‌ی ۲.۲ برای بررسی پایداری ۲-دورهای مذکور نمی‌توان استفاده کرد. با این حال، از تکرارهای ترسیمی می‌بینیم که این نقاط تناوبی، پایدار هستند اما جاذب و یا دافع نیستند. این‌ها نمونه‌هایی از ۲-دورهای غیرهذلولی $\{c_0, c_1\}$ هستند بهطوری که $(f^2)'(c_0) = f'(c_0) f'(c_1) = -1$ یا $(f^2)'(c_0) = f'(c_0) f'(c_1) = 1$. پس تعریف زیر را داریم:



شکل ۵.۲: هر $1 \neq 0, \pm 1$ نقطه‌ی ۲-تناوبی نگاشت $f(x) = \frac{1}{x}$ است.

تعريف. n -دور $\{c_0, c_1, \dots, c_{n-1}\}$ از تابع مشتق پذیر f را هزلولوی گوئیم هرگاه $|f'(c_0)f'(c_1)f'(c_2)\cdots f'(c_{n-1})| \neq 1$ است. این معادل است با این که بگوئیم هر عضو از مجموعه $\{c_0, c_1, \dots, c_{n-1}\}$ یک نقطه ثابت هزلولوی از f^n است. اگر یک n -دور هزلولوی نباشد، آنگاه آن را غیرهزلولوی می‌نامیم.

مثال. فرض کنیم $f(x) = -\frac{x^3}{2} - \frac{x}{2} + 1$. در این صورت از آنجا که $f(0) = 0$ و $f(1) = 0$ یک 2 -دور برای f است که چون $f'(0) = 1$ غیرهزلولوی است. توجه داریم که اگر

$$g(x) = f^2(x) - x = \frac{1}{16}x^2(x-1)^2(x^2+2x+3)(x^3+3x-2),$$

آنگاه $g(x)$ در $x=0$ و $x=1$ ریشه‌ی مضاعف دارد. این حالت همیشه زمانی که مانند همین مثال، یک 2 -دور غیرهزلولوی داشته باشیم، اتفاق می‌افتد.

تذکر. ۱. نقاط تناوبی می‌توانند پایدار باشند اما جاذب نباشند (همانطور که برای نگاشت $f(x) = 1/x$ در $x \neq 1$ دیدیم). همچنین می‌توانند جاذب باشند اما مانند مثال ۵.۱، پایدار نباشند.

۲. توابعی مانند $f(x) = \sin x$ نمی‌توانند هیچ نقطه‌ای از دوره تناوب ۲ یا بالاتر داشته باشند، چون وجود چنین نقاطی با این واقعیت که دامنه جذب نقطه ثابت $x=0$ تمام \mathbb{R} است، در تضاد خواهد بود. به طور مشابه، نگاشت لجستیک L_μ برای $0 < \mu < 3$ نمی‌تواند نقاطی با دوره تناوب n برای $n > 1$ داشته باشد.

۳.۲ نقاط تناوبی نگاشت لجستیک

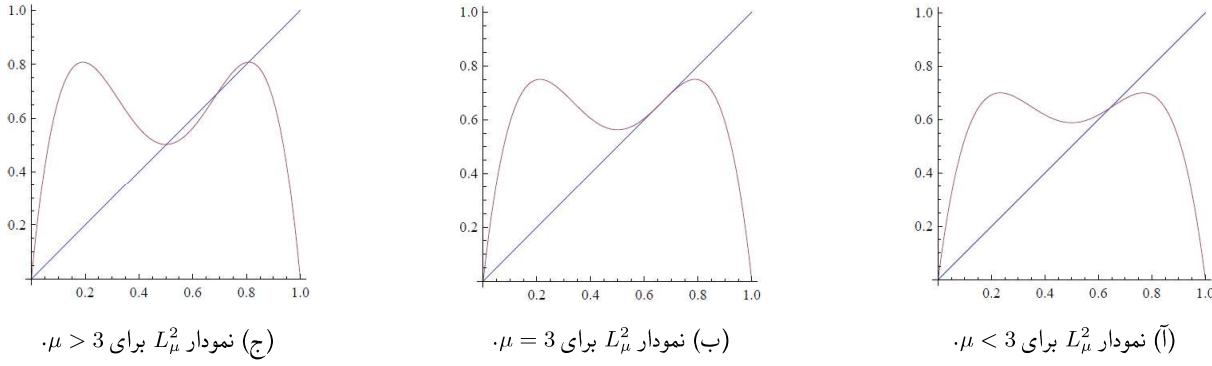
با بررسی نمودار L_μ^2 برای مقادیر مختلف μ در نزدیکی ۳، می‌توانیم بینیم که نقاطی با دوره تناوب ۲ چطور ایجاد می‌شوند. برای μ نزدیک اما کمتر از ۳، نمودار $L_\mu^2(x)$ خط $y=x$ را علاوه بر $x=0$ ، فقط در نقطه ثابت $c=1-\frac{1}{\mu}$ از L_μ قطع می‌کند و شیب خط مماس در این نقطه برابر $\mu-2=L'_\mu(c)$ است که قدر مطلق آن کمتر از یک است. پس واضح است که نقطه‌ای با دوره تناوب ۲ وجود ندارد. برای $\mu=3$ ، نمودار L_μ^2 در نقطه ثابت c بر $y=x$ مماس است، $L'_\mu(c)=-1$ و باز هم نقطه‌ای با دوره تناوب ۲ وجود ندارد. با افزایش μ به مقادیر بیشتر از ۳، نمودار L_μ^2 مارپیچ‌وار در اطراف c حرکت می‌کند و به این ترتیب دو نقطه ثابت جدید $\{c_1, c_2\}$ برای نگاشت L_μ^2 ایجاد می‌شود که باید یک 2 -دور برای L_μ باشد. توجه کنید که در نقطه ثابت c داریم

$$(L_\mu^2)'(c) = L'_\mu(c) L'_\mu(L_\mu(c)) = (2-\mu)^2 > 1.$$

بنابراین شیب L_μ^2 در c از کمتر از ۱ به بیشتر از ۲ افزایش یافته و این باعث ایجاد 2 -دور شده است. این نمونه‌ای از انشعاب مضاعف‌سازی دوره تناوب است.

برای تعیین 2 -دورهای نگاشت لجستیک $L_\mu(x) = \mu x(1-x)$ برای $0 \leq x \leq 1$ معادله‌ی $L_\mu^2(x) = x$ یا به طور معادل

$$-\mu^3 x^4 + 2\mu^3 x^3 - (\mu^3 + \mu^2)x^2 + \mu^2 x - x = 0,$$



شکل ۶.۲: نمودار L_μ^2 برای μ در نزدیکی ۳.

را حل می‌کنیم. از آنجا که $X = 0$ و $X = 1 - 1/\mu$ نقاط ثابت نگاشت $L_\mu(x)$ هستند، x و $(x - (1 - 1/\mu))$ باید عامل‌هایی از معادله اخیر باشند. بنابراین می‌توان نوشت

$$L_\mu^2(x) - x = -x(\mu x - \mu + 1)(\mu^2 x^2 - \mu(\mu + 1)x + \mu + 1).$$

عامل درجه دوم معادله یعنی $\mu^2 x^2 - \mu(\mu + 1)x + \mu + 1 = 0$ ریشه حقیقی ندارد. درواقع از حل این معادله داریم

$$c = \frac{\mu(\mu + 1) \pm \sqrt{\mu^2(\mu + 1)^2 - 4\mu^2(\mu + 1)}}{2\mu^2} = \frac{(1 + \mu) \pm \sqrt{(\mu - 3)(\mu + 1)}}{2\mu}.$$

این ریشه‌ها فقط برای $\mu \geq 3$ حقیقی مقدار هستند. این ریشه‌های وابسته به μ را c_1 و c_2 می‌نامیم. ۲-دور $\{c_1, c_2\}$ مجانی پایدار است هرگاه $-1 < \mu^2(1 - 2c_1)(1 - 2c_2) < 1$ یا

$$-1 < (-1 - \sqrt{\mu^2 - 2\mu - 3})(-1 + \sqrt{\mu^2 - 2\mu - 3}) < 1.$$

در نتیجه ۲-دور $\{c_1, c_2\}$ مجانی پایدار است هرگاه $-1 < 1 - (\mu^2 - 2\mu - 3) < 0$ و $0 < \mu^2 - 2\mu - 3 < 1 - (\mu^2 - 2\mu - 3)$ که دو نامساوی $\mu^2 - 2\mu - 3 < 1 - (\mu^2 - 2\mu - 3)$ را نتیجه می‌دهد. با تعیین علامت این دو درمی‌یابیم که بازه‌ی $1 + \sqrt{6} < \mu < 3$ مقادیری از پارامتر را شامل می‌شود که به ازای آنها، مجانی پایدار بودن ۲-دور $\{c_1, c_2\}$ نتیجه می‌شود.

اگر $\mu = 1 + \sqrt{6}$ ، آنگاه $-1 = L_\mu'(c_1) = L_\mu'(c_2)$. بنابراین از قضیه ۱۰.۶.۱، نتیجه می‌شود که برای $\mu = 1 + \sqrt{6}$ ، ۲-دور $\{c_1, c_2\}$ مجانی پایدار است. همچنین، ۲-دور به ازای $\mu > 1 + \sqrt{6}$ ناپایدار است. در مجموع با توجه به نتایجی که بدست آورده‌یم قضیه زیر را داریم.

قضیه. نگاشت لجستیک $L_\mu(x) = \mu x(1 - x)$ ، برای $\mu \leq 1 + \sqrt{6}$ یک ۲-دور مجانی پایدار دارد. این ۲-دور برای $\mu > 1 + \sqrt{6}$ ناپایدار است.

مباحث بالا نشان می‌دهد که در $\mu = 3$ ، یک انشعاب رخ می‌دهد و یک ۲-دور ایجاد می‌شود که پیش از این وجود نداشت. انشعاب دیگری در $\mu = 1 + \sqrt{6}$ اتفاق می‌افتد. این بین معناست که برای $\mu \leq 1 + \sqrt{6} < 3$ ، وقتی از تکرار گرافیکی نقاط در همسایگی c_1 و c_2 استفاده می‌کنیم، تکرارها به مدار ۲-تناوبی نزدیک می‌شوند، نه به نقطه ثابت (که اکنون ناپایدار است). در واقع، می‌توان نشان داد که برای

این محدوده از مقادیر پارامتر μ ، دامنه جذب $2 - \text{دور شامل تمام بازه} (0, 1)$ (به جز نقطه ثابت $\mu = 1$ و نقاط درنهایت ثابت، مثلًا $\mu = 1$) است. هنگامی که μ از $3.449499 + \sqrt{6}$ بیشتر شود، نقاط $2 - \text{تناوبی ناپایدار می‌شوند}$. در عوض در $\mu = 1 + \sqrt{6}$ ، یک انشعاب دیگر داریم که با تولد یک $4 - \text{دور مجانبی پایدار همراه است}$ (باز هم انشعاب مضاعف‌سازی دوره تناوب).

۴.۲ مضاعف‌سازی دوره تناوب، راهی به سوی آشوب

در این بخش، آنچه را که تاکنون در مورد نگاشت لجستیک مطالعه کردیم، جمع‌بندی و سپس در مورد آنچه که با افزایش μ از صفر تا حدود ۳.۵۷ اتفاق می‌افتد، صحبت خواهیم کرد.
برای $b_1 < \mu \leq 0$ (که در آن $c = 0$ ، $b_1 = 0$)، تنها نقطه ثابت نگاشت است که برای این مقادیر از μ مجانبی پایدار است. یک انشعاب در $1 - b_1 = \mu$ رخ می‌دهد که در طی آن نقطه ثابت ناصرف $\mu = 1$ ایجاد می‌شود. این نقطه ثابت برای $3 < \mu \leq 1$ مجانبی پایدار و در $\mu = s_1 = 2$ اُبرجاذب است (در این فاصله $c = 0$ دیگر جاذب نیست). انشعاب دوم زمانی رخ می‌دهد که $\mu = b_2 = 3$. در این زمان نقطه ثابت $\mu = c = 1 - 1/\mu$ ناپایدار شده و یک $2 - \text{دور مجانبی پایدار برای } b_3 = b_1 + \sqrt{6} < \mu < 3$ ایجاد می‌شود.

۱.۴.۲ یک دو دور اُبرجاذب

به سادگی می‌توان دید که به ازای $2 - \text{دور اُبرجاذب برای } L_\mu$ ، $\mu = \frac{1}{2}$ ، $c = \frac{1}{2}$ یک نقطه ثابت اُبرجاذب برای L_μ است. حال برای $3 < \mu < 1 + \sqrt{6}$ به دنبال یک $2 - \text{دور اُبرجاذب برای } L_\mu$ تحت یک روش کلی هستیم که می‌تواند برای تعیین محل نقاطی با دوره تناوب سه از نگاشت نیز استفاده شود.
فرض کنید که $\{x_1, x_2\}$ یک $2 - \text{دور اُبرجاذب برای } L_\mu$ نگاشت باشد. در این صورت

$$x_1 = \mu x_2 (1 - x_2), \quad x_2 = \mu x_1 (1 - x_1). \quad (1.2)$$

از ضرب کردن طرفین تساوی‌های بالا در هم و سپس حذف عامل مشترک $x_1 x_2$ خواهیم داشت

$$\mu^2 (1 - x_1) (1 - x_2) = 1. \quad (2.2)$$

به علاوه از آنجا که $2 - \text{دور اُبرجاذب است}$ باید داشته باشیم $(L_\mu^2)'(x_1) = L'_\mu(x_1)L'_\mu(x_2) = 0$ که نتیجه می‌دهد $(1 - x_1)(1 - x_2) = 0$. پس $x_1 = \frac{1}{2}$ یا $x_2 = \frac{1}{2}$. فرض کنیم $x_1 = \frac{1}{2}$. در این صورت از (1.2) نتیجه می‌شود $\frac{\mu}{4} = x_2$ و بنابراین از (2.2) داریم $\mu^2 - 4\mu^2 + 8 = 0$. از آنجا که $\mu^2 - 4\mu^2 + 8 = 0$ عاملی از این معادله درجه‌ی سوم است، پس

$$\mu^3 - 4\mu^2 + 8 = (\mu - 2)(\mu^2 - 2\mu - 4) = 0,$$

که $\mu = 1 + \sqrt{5}$ را نتیجه می‌دهد. بنابراین قضیه‌ی زیر را داریم:

قضیه. برای $\mu = 1 + \sqrt{5}$ ، $s_2 = 1 + \sqrt{\frac{1+\sqrt{5}}{4}}$ یک $2 - \text{دور اُبرجاذب برای } L_\mu$ است.

هنگامی که μ از $b_3 = 1 + \sqrt{6}$ بیشتر شود، $2 - \text{دور مذکور پایداری خود را از دست داده و ناپایدار می‌شود}$. علاوه بر این، یک $4 - \text{دور ایجاد می‌شود}$ که برای $b_4 < \mu < b_3$ جاذب است. زمانی که μ از مقدار b_4 تجاوز کند، $4 - \text{دور مذکور ناپایدار شده و یک } 8 - \text{دور پایدار ایجاد$

می‌شود. این نوع از دو برابر شدن دوره تناوب ادامه می‌یابد به طوری که هر بار وقتی μ از b_n عبور می‌کند، یک 2^{n-1} -دور پایدار ایجاد می‌شود تا زمانی که μ به b_{n+1} برسد. این دورها در برخی از مقادیر n آبرجاذب می‌شوند ($s_n < b_{n+1} < b_n$). این رفتار تا ایجاد 2^n -دور برای هر $\mu \in \mathbb{N}$ ، ادامه می‌یابد، تا زمانی که μ به مقدار b_∞ یعنی تقریباً 3.57 برسد. به عبارت دیگر، برای $b_n < \mu < b_{n+1}$ یک 2^n -دور پایدار دارد. می‌توان نشان داد که تقریباً $\lim_{n \rightarrow \infty} b_n = 3.57$ است. اگرچه $0 = \lim_{n \rightarrow \infty} (b_{n+1} - b_n)$ ، عدد ثابت δ را که به نام عدد فایگنباوم^۳ شناخته می‌شود، می‌توان به صورت

$$\delta = \lim_{n \rightarrow \infty} \frac{b_n - b_{n-1}}{b_{n+1} - b_n} = 4.6692016\ldots ,$$

تعريف کرد. فایگنباوم نشان داد که ثابت δ را می‌توان برای هر خانواده f_μ از نگاشتهای تک‌کوهان به دست آورد. شایان ذکر است که (x_μ) نگاشت تک‌کوهانه نامیده می‌شود هرگاه $f_\mu(0) = f_\mu(1)$ پیوسته بود و یک نقطه بحرانی یکتا بین 0 و 1 داشته باشد.

۲.۴.۲ دیاگرام انشعاب و ۳-دورهای نگاشت لجستیک

رفتار تشریح شده در بخش قبل را می‌توان به صورت ترسیمی با استفاده از نموداری موسوم به دیاگرام انشعاب نشان داد. برای رسم یک دیاگرام انشعاب، مقادیر $4 \leq \mu \leq 0$ را در امتداد محور x و مقادیر $L_\mu^n(x)$ را در امتداد محور y در نظر می‌گیریم. برای هر مقدار از μ ، به عنوان مثال ۵۰۰ تکرار اول نگاشت لجستیک را با شروع از مقدار x_0 که به طور دلخواه در $(0, 1)$ انتخاب شده، محاسبه می‌کنیم. سپس ۴۵۰ تکرار اول را نادیده گرفته و ۵۰ مورد بعدی را رسم می‌کنیم. بنابراین برای مثال، اگر $3 < \mu < 1$ ، از آنجایی که در این فاصله نقطه ثابت $\mu/1 - 1$ جاذب است، تکرارها به آن نزدیک می‌شوند و برای n بزرگ، آنچه که در نمودار ترسیم می‌شود، خیلی نزدیک به مقدار $\mu/1 - 1$ خواهد بود. در دیاگرام انشعاب، منحنی $y = 1 - \mu/x$ را برای $3 \leq \mu \leq 1$ خواهیم دید. برای $\sqrt{6} < \mu < 1$ نقطه ثابت $\mu/1 - 1$ ناپایدار شده و بنابراین دیگر نشان داده نمی‌شود. اما در این فاصله یک ۲-دور پایدار داریم. پس نقاطی با دوره تناوب دو از ۲-دور را رسم می‌کنیم. این روند با ۴-دورها، ۸-دورها و ... ادامه می‌یابد. این روند «مضاعف‌سازی دوره تناوب»، راهی به سوی آشوب^۴ نامیده می‌شود. می‌توانیم با استفاده از یک برنامه‌ی رایانه‌ای مانند متمتیکا^۵ یا میلپ^۶ یک نمودار انشعاب برای L_μ به صورت شکل ۷.۲ رسم کنیم.

۳.۴.۲ نقاط ۳-تناوبی نگاشت لجستیک کجا رخ می‌دهد؟

با بررسی نمودار L_μ^3 برای μ نزدیک به 3.8، تصویری نسبت به مقادیری از μ که به ازای آنها یک ۳-دور برای نگاشت μ وجود دارد، به دست می‌آوریم.

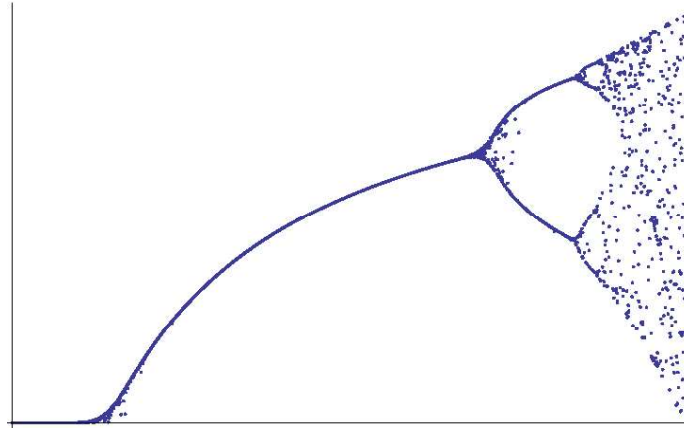
بنابراین نشان دهیم که یک ۳-دور برای اولین بار در $1 + \sqrt{8} = \mu$ رخ می‌دهد. برای مقادیر μ کمی کوچکتر از $1 + \sqrt{8}$ ، تقاطع خط $y = x$ با نمودار L_μ^3 تنها در دو نقطه است که همان نقاط ثابت نگاشت L_μ هستند. برای $\mu = 1 + \sqrt{8}$ می‌بینیم که نمودار L_μ^3 بر خط $y = x$ در سه نقطه‌ی مختلف مماس است. اینها نقاط ۳-تناوبی نگاشت L_μ هستند و تشکیل یک ۳-دور می‌دهند. برای مقادیر بزرگتر μ ، دو ۳-دور می‌بینیم. در محدوده‌ی کوچکی از مقادیر $1 + \sqrt{8} \geq \mu$ ، ۳-دورها جاذب هستند. برای اثبات وقوع انشعاب در $1 + \sqrt{8} = \mu$ ، استدلال فنگ^۷ را دنبال می‌کنیم.

³Feigenbaum

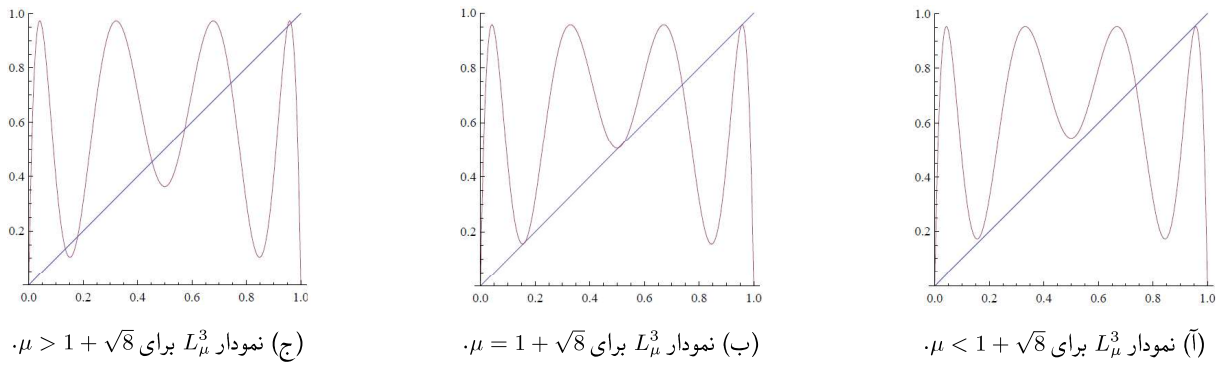
⁴Mathematica

⁵Maple

⁶Feng



شکل ۷.۲: دیاگرام انشعاب برای نگاشت لجستیک.



شکل ۸.۲: نمودار L_μ^3 برای μ در نزدیکی $1 + \sqrt{8}$.

نقاط ۳-تناوبی نگاشت L_μ در $L_\mu^3(x) = x$ صدق می‌کنند. بنابراین معادله $L_\mu^3(x) - x = 0$ را در نظر می‌گیریم. برای حذف نقاط ثابت نگاشت L_μ از ریشه‌های این معادله، قرار می‌دهیم

$$g_\mu(x) = \frac{L_\mu^3(x) - x}{L_\mu(x) - x}.$$

در این صورت با انجام محاسبات جبری (که به راحتی با برنامه‌های رایانه‌ای صورت می‌پذیرد) g_μ به صورت

$$\begin{aligned} g_\mu(x) = & \mu^6 x^6 - (\mu^5 + 3\mu^6) x^5 + (\mu^4 + 4\mu^5 + 3\mu^6) x^4 - (\mu^3 + 3\mu^4 + 5\mu^5 + \mu^6) x^3 \\ & + (\mu^2 + 3\mu^3 + 3\mu^4 + 2\mu^5) x^2 - (\mu + 2\mu^2 + 2\mu^3 + \mu^4) x + 1 + \mu + \mu^2, \end{aligned}$$

ساده می‌شود. قرار می‌دهیم $h_\mu(z) := g_\mu(-z/\mu)$ و فرض می‌کنیم $\lambda = 7 + 2\mu - \mu^2$. در این صورت

$$\begin{aligned} h_\mu(z) = & z^6 + (3\mu + 1) z^5 + (3\mu^2 + 4\mu + 1) z^4 + (\mu^3 + 5\mu^2 + 3\mu + 1) z^3 \\ & + (2\mu^3 + 3\mu^2 + 3\mu + 1) z^2 + (\mu^3 + 2\mu^2 + 2\mu + 1) z + \mu^2 + \mu + 1. \end{aligned}$$

پس اگر

$$k_\mu(z) = \left(z^3 + \frac{3\mu+1}{2}z^2 + (2\mu+3 - \frac{\lambda}{2})z + \frac{\mu+5}{2} - \frac{\lambda}{2} \right)^2 + \frac{\lambda}{4}(z+1)^2(z+\mu)^2,$$

آنگاه با استفاده از برنامه های محاسباتی می توان دید که برای هر z ، $k_\mu(z) = h_\mu(z)$. توجه کنید که اگر $\lambda > 0$ ، آنگاه $0 < 1 + \sqrt{8} < \mu < \lambda$. همچنین $\mu = 1 + \sqrt{8}$ معادل با $\lambda = 0$ است. این بدین معناست که برای $0 < 1 + \sqrt{8} < \mu < \lambda$ ، h_μ مثبت معین است (یعنی برای هر $z > 0$)، بنابراین ریشه ندارد. پس معادله $g_\mu(x) = 0$ هیچ جوابی ندارد و از این رو در این حالت نمی تواند ۳-دور داشته باشد. نتایج را به صورت زیر خلاصه می کنیم.

(آ) اگر $0 < \mu < 1 + \sqrt{8}$ ، آنگاه $h_\mu(z)$ مثبت معین است و معادله $0 = h_\mu(z)$ ، ریشهی حقیقی ندارد. در نتیجه،

نگاشت لجستیک L_μ ۳-دور نیست.

(ب) اگر $\lambda = 1 + \sqrt{8} < \mu$ ، آنگاه معادله $0 = h_\mu(z)$ سه ریشهی متمایز دارد که هر کدام دوبار تکرار می شوند. این سه ریشه یک ۳-دور برای نگاشت لجستیک L_μ تشکیل می دهند.

(پ) اگر $1 + \sqrt{8} < \mu < \lambda$ (برای $1 + \sqrt{8} - \mu$ به اندازه کافی کوچک)، آنگاه معادله $0 = h_\mu(z)$ شش ریشهی ساده دارد که منجر به دو ۳-دور برای نگاشت لجستیک L_μ می شود.

اثبات. (آ) اگر $0 < \mu < 1 + \sqrt{8}$ ، آنگاه از آنجا که $h_\mu(z)$ مثبت معین است (یعنی برای هر $z > 0$ ، نتیجه حاصل می شود).

(ب) اگر $\lambda = 1 + \sqrt{8} < \mu$ ، آنگاه $0 = \lambda$ و در این صورت

$$k_\mu(z) = \left(z^3 + (2 + 3\sqrt{2})z^2 + (5 + 4\sqrt{2})z + 3 + \sqrt{2} \right)^2.$$

معادلهی حاصل را می توان به کمک فرمول ریشه برای معادلات درجه سه حل کرد و از سه ریشهی حقیقی آن (یعنی z_1, z_2 و z_3 برای تعیین جواب های معادله $0 = g_\mu(x)$ متناظر با ۳-دور نگاشت L_μ استفاده کرد. داریم

$$z_k = \frac{2\sqrt{7}}{3} \cos \left(\frac{1}{3} \arccos \left(-\frac{1}{2\sqrt{7}} + \frac{2k\pi}{3} \right) \right) - \frac{2 + 3\sqrt{2}}{3}, \quad k = 0, 1, 2,$$

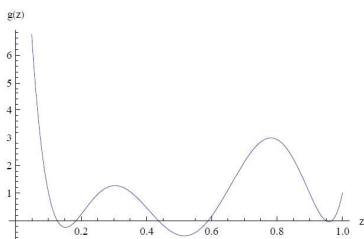
(پ) برای $\lambda < 0$ ، ابتدا به کمک اتحاد مزدوج $(h_\mu(z) = h_1(z)h_2(z))$ را به صورت بازنویسی می کنیم: سپس با به کارگیری قضیه مقدار میانی برای هر یک از توابع $h_1(z)$ و $h_2(z)$ در می باییم که هر کدام سه ریشهی متمایز دارند که متناظر به دو ۳-دور از نگاشت L_μ هستند (برای جزئیات به مراجع درس مراجعه کنید). \square

۴.۴.۲ یک ۳-دور آبرجاذب برای نگاشت لجستیک

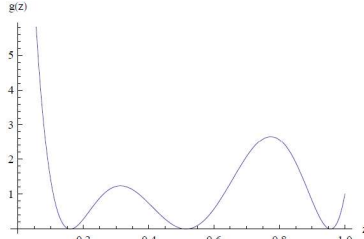
یادآوری می کنیم که نقاط تناوبی آبرجاذب در جایی که مشتق صفر شود رخ می دهند. پس برای یک ۳-دور آبرجاذب $\{c_1, c_2, c_3\}$ ، داریم

$$(L_\mu^3)'(c_1) = L'_\mu(c_1)L'_\mu(c_2)L'_\mu(c_3) = 0.$$

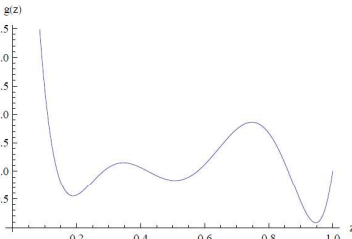
بنابراین $x = \frac{1}{2}$ است. $(1 - 2c_1)(1 - 2c_2)(1 - 2c_3) = 0$. بدون کم شدن از کلیتی می توانیم فرض کنیم $c_1 = \frac{1}{2}$. این بدان معنی است که $L_\mu^3(\frac{1}{2}) = 0$. اما اگر μ در معادله $0 = L_\mu^3(\frac{1}{2})$ صدق کند، آنگاه در معادلهی تکرار سوم نیز جوابی از معادله $0 = L_\mu^3(x)$ است.



(ج) نمودار $g_\mu(x)$ برای $\mu > 1 + \sqrt{8}$



(ب) نمودار $g_\mu(x)$ برای $\mu = 1 + \sqrt{8}$



(د) نمودار $g_\mu(x)$ برای $\mu < 1 + \sqrt{8}$

شکل ۹.۲: نمودار $g_\mu(x)$ برای μ در نزدیکی $1 + \sqrt{8}$.

صدق خواهد کرد. بنابراین به جای معادله $L_\mu^3(\frac{1}{2}) = \frac{1}{2}$ ، معادله $L_\mu^3(\frac{1}{2}) = \frac{1}{2} - \mu$ را که در آن $g_\mu(\frac{1}{2}) = \frac{1}{2} - \mu$ حل می‌کنیم (این معادله ریشه‌ی $\mu = 2$ را که باعث ایجاد نقطه ثابت آبرجاذب در $x = \frac{1}{2}$ می‌شود، حذف می‌کند). از این معادله خواهیم داشت

$$\frac{1}{64}(64 + 32\mu + 16\mu^2 - 24\mu^3 - 4\mu^4 + 6\mu^5 - \mu^6) = 0.$$

اگر قرار دهیم

$$p(a) = a^6 - 6a^5 + 4a^4 + 24a^3 - 16a^2 - 32a - 64,$$

آنگاه محاسبات جبری نشان می‌دهد که $p(a)$ یک ریشه‌ی حقیقی μ_0 بزرگتر از $1 + \sqrt{8}$ با مقدار دقیق

$$\mu_0 = \frac{1}{6} \left(6 + 2\sqrt{3(11 + 2.2^{2/3}(25 - 3\sqrt{69})^{1/3} + 2.2^{2/3}(25 + 3\sqrt{69})^{1/3})} \right),$$

دارد. در واقع می‌توان $p(a)$ را به یک معادله‌ی درجه سه کاهش داد و سپس از فرمول ریشه‌های معادله‌ی درجه سه استفاده کرد. بدین منظور اگر a را با $a + 1$ جایگزین کنیم، داریم

$$p(a + 1) = a^6 - 11a^4 + 35a^2 - 89 = b^3 - 11b^2 + 35b - 89.$$

در این صورت $p(a + 1)$ یک چندجمله‌ای درجه سه بر حسب $b = a^2$ است که می‌توان آن را دقیقاً برای b و سپس برای a از معادله‌ی اصلی حل کرد. خواهیم دید که $\mu_0 = 3.8318740552 \dots$. حال می‌توانیم ۳-دور ابرجاذب را نیز محاسبه کنیم که به صورت زیر است:

$$c_1 = \frac{1}{2}, \quad c_2 = L_{\mu_0}(\frac{1}{2}) = \frac{\mu_0}{4} = 0.95796 \dots, \quad c_3 = L_{\mu_0}^2(\frac{1}{2}) = \frac{\mu_0^2}{4}(1 - \frac{\mu_0}{4}) = 0.15248 \dots.$$

۵.۴.۲- دور برای $\mu = 4$

برای $\mu = 4$ ، نگاشت $L_4(x) = 4x(1-x)$ بازه‌ی $[0, 1]$ را به روی $[0, 1]$ می‌نگارد. در این حالت می‌توان یک فرمول بسته برای تکرارهای L_μ^4 به دست آورد و به طور متناظر فرمول صریحی برای n -دورهای این نگاشت تعیین کرد. در این حالت

$$g_4(x) = 4096x^6 - 13312x^5 + 16640x^4 - 10048x^3 + 3024x^2 - 420x + 21,$$

و می‌توان نشان داد که $g_4\left(\frac{x}{4}\right)$ حاصل ضربی از دو چندجمله‌ای درجه سه به صورت زیر است:

$$g_4\left(\frac{x}{4}\right) = x^6 - 13x^5 + 65x^4 - 157x^3 + 189x^2 - 105x + 21 = (x^3 - 7x^2 + 14x - 7)(x^3 - 6x^2 + 9x - 3).$$

ریشه‌های عبارت اخیر دو-۳ دور برای L_4 را نتیجه می‌دهند. اما در اینجا با یک روش متفاوت به صورت زیر عمل می‌کنیم.

قضیه. برای نگاشت لجستیک

$$(آ) ۲-دور عبارت است از $\{\sin^2(\pi/5), \sin^2(2\pi/5)\}$$$

$$(ب) ۳-دورها به صورت $\{\sin^2(\pi/9), \sin^2(2\pi/9), \sin^2(4\pi/9)\}$ و $\{\sin^2(\pi/7), \sin^2(2\pi/7), \sin^2(3\pi/7)\}$ هستند.$$

اثبات. بنابر مثال ۲.۱ معادله تفاضلی $x_{n+1} = 4x_n(1-x_n)$ برای $n=0, 1, 2, \dots$ جوابی به صورت

$$x_n = \sin^2(2^n \arcsin \sqrt{x_0}),$$

دارد. یادآوری می‌کنیم که با جایگذاری (θ_n) ($n=0, 1, 2, \dots$) $x_n = \sin^2(\theta_n)$ برای مقادیر $\theta_n \in (0, \pi/2]$ در معادله تفاضلی اخیر داریم:

$$\sin^2(\theta_{n+1}) = 4 \sin^2(\theta_n)(1 - \sin^2(\theta_n)) = 4 \sin^2(\theta_n) \cos^2(\theta_n) = \sin^2(2\theta_n).$$

حال با استفاده از این فرمول می‌توان نشان داد که $\sin^2(\theta_{n+1}) = \sin^2(4\theta_{n-1})$ و در حالت کلی

$$x_n = \sin^2(\theta_n) = \sin^2(2^n \theta_0),$$

که در آن $\theta_0 = \arcsin(\sqrt{x_0})$. بهویژه

$$\theta_1 = \arcsin(\sqrt{\sin^2 2\theta_0}) = \begin{cases} 2\theta_0 & 0 \leq \theta_0 \leq \frac{\pi}{4} \\ \pi - 2\theta_0 & \frac{\pi}{4} \leq \theta_0 \leq \frac{\pi}{2}. \end{cases}$$

در شرایطی که $\{c_0, c_1\}$ یک ۲-دور باشد که $c_i = \sin^2(\theta_i)$, آنگاه θ_0 برابر با یکی از مقادیر $4\theta_0, 4\theta_0 - \pi, 4\theta_0 - 2\pi, \dots$ خواهد بود که از آن $0 = \theta = \frac{\pi}{3}$ یا $\theta = \frac{\pi}{5}$ (متناظر با نقاط ثابت نگاشت L_4) و $\theta_0 = \frac{2\pi}{5}$ یا $\theta_0 = \frac{\pi}{2}$ دور مذکور به دست می‌آیند. تجزیه و تحلیلی مشابه برای یافتن ۳-دور نیز کارآمد است. \square

نتیجه. البته می‌توانستیم با جایگذاری ۲-دور و ۳-دور مورد ادعا در نگاشت، مستقیم درستی حکم قضیه را ثابت کنیم، اما برهان اخیر نشان می‌دهد که این نتایج از کجا آمداند.

برای یافتن نقاط n -تناوبی نگاشت L_4 , می‌توانیم به منظور حل معادله $x = L_4^n(x)$ از ایده‌های بالا استفاده کنیم. اگر $x = \sin^2(\theta)$ باشد، آنگاه $\sin^2(\theta) = \sin^2(2^n \theta)$ که دو معادله

$$\pm\theta = 2^n\theta + 2k\pi, \quad \pm\theta = (2k+1)\pi - 2^n\theta,$$

را که در آن $k \in \mathbb{Z}$, نتیجه می‌دهد. البته می‌توان هر دو معادله اخیر را در یک معادله به شکل $\pm\theta = 2^n\theta + k\pi$ خلاصه کرد. پس برای $\theta = \frac{k\pi}{2^n \pm 1}$ داریم $k \in \mathbb{Z}$ و $n = 1, 2, 3, \dots$

$$Per_n(L_4) = \{\sin^2\left(\frac{k\pi}{2^n - 1}\right) | 0 \leq k < 2^{n-1}\} \cup \{\sin^2\left(\frac{k\pi}{2^n + 1}\right) | 0 < k \leq 2^{n-1}\}.$$

بنابراین L_4 دارای نقاط تناوبی از تمام تناوب‌های ممکن است. خواهیم دید که مجموعه‌ی تمام نقاط تناوبی L_4 یک زیرمجموعه‌ی چگال از $[0, 1]$ است و هر نقطه‌ی تناوبی از این نگاشت ناپایدار است.

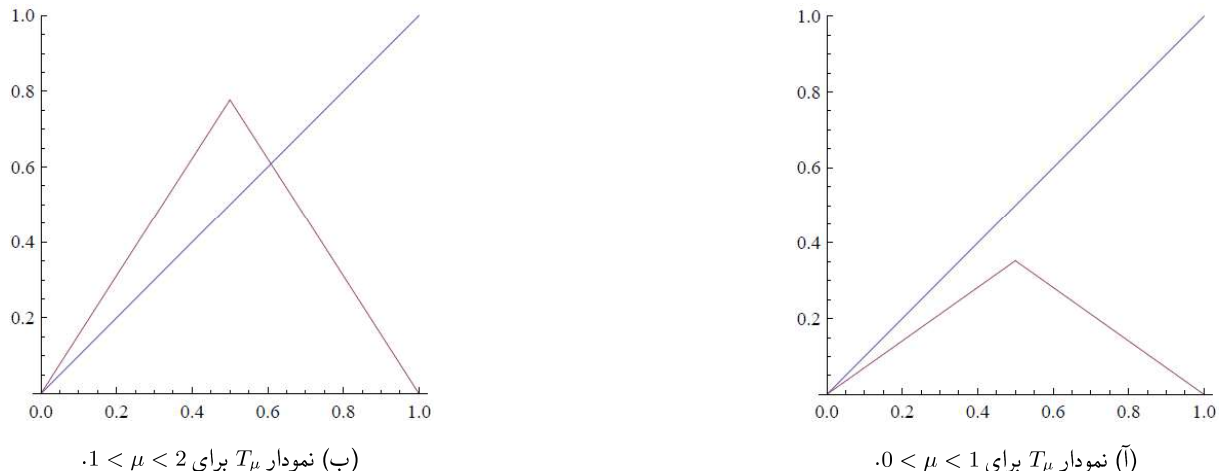
۵.۲ خانواده نگاشت چادر T_μ

خانواده نگاشت چادر که آن را با T_μ نمایش می‌دهیم، یک خانواده پارامتری مرتبط با خانواده نگاشتهای لجستیک است و به صورت قطعه‌ای خطی تعریف می‌شود. برای $0 < \mu \leq 2$ به صورت $T_\mu : [0, 1] \rightarrow [0, 1]$

$$T_\mu(x) = \begin{cases} \mu x & 0 \leq x \leq \frac{1}{2} \\ \mu(1-x) & \frac{1}{2} < x \leq 1, \end{cases}$$

تعریف می‌شود. برای $\mu = 2$ ، نگاشت چادر $T = T_2$ همان نگاشتی است که پیش‌تر هم دیده بودیم. حال نگاشت چادر را به ازای $0 < \mu \leq 2$ مطالعه می‌کنیم.

اگر $0 < \mu < 1$ ، آنگاه $c = 0$ تنها نقطه ثابت نگاشت T_μ است. برای $1 < \mu = c \in [0, \frac{1}{2}]$ نقاط ثابت T_μ هستند و در حالتی که $2 < \mu < 1$ ، دو نقطه‌ی ثابت برای نگاشت T_μ داریم. هر یک از این حالت‌ها را جداگانه بررسی می‌کنیم.



شکل ۱۰.۲: نمودار T_μ .

حالات اول) اگر $1 < \mu < 0$ ، آنگاه صفر تنها نقطه ثابت نگاشت T_μ است. در این حالت برای $\frac{1}{2} \leq x \leq 1$ داریم

$$0 \leq T_\mu(x) = \mu x < x,$$

و برای $\frac{1}{2} < x \leq 1$

$$0 \leq T_\mu(x) = \mu(1-x) < 1-x < \frac{1}{2} < x.$$

با ادامه‌ی این روند می‌بینیم که دنباله‌ی $(T_\mu^n(x))$ نزولی و از پایین به 0 کراندار است. بنابراین باید به نقطه ثابت نگاشت یعنی $B_{T_\mu}(0) = [0, 1]$ همگرا شود. از این رو

حالت دوم) اگر $\mu = 1$ و $0 \leq x \leq \frac{1}{2}$ ، آنگاه $x = T_1(x)$ یک نقطه ثابت نگاشت است. اگر $x < \frac{1}{2}$ ، آنگاه از آنجا که

$$T_1^2(x) = T_1(1-x) = x,$$

x یک نقطه در نهایت ثابت نگاشت است. نقاط ثابت در این حالت پایدارند اما جاذب نیستند.

حالت سوم) اگر $2 < \mu < 1$ ، علاوه بر $x = 0$ نگاشت T_μ نقطه ثابت دیگری نیز خواهد داشت که از حل معادله $x = \mu(1-x)$ حاصل می‌شود. بنابراین $c = \frac{\mu}{1+\mu} \cdot c$. از آنجا که در این حالت $|T'_\mu(x)| = \mu > 1$ ، نقاط ثابت ناپایدار هستند.

حالت چهارم) به ازای $2 = \mu$ ، نگاشت $T_2 = T$ همان نگاشتی است که پیش‌تر هم دیده بودیم. نقاط ثابت $0 = c = \frac{2}{3}$ برای این نگاشت ناپایدار هستند. برد T تمام بازه $[0, 1]$ است. اثر نگاشت T به این صورت است که ابتدا بازه $[\frac{1}{2}, 1]$ را روی تمام $[0, 1]$ مینگارد و سپس بازه $[\frac{1}{2}, 1]$ را روی بازه $[0, 1]$ برمی‌گرداند. این کشش و چین‌خوردگی است که ماهیت آشوبناک نگاشت T را نتیجه می‌دهد، که آن را بعداً بررسی خواهیم کرد. دینامیک پیچیده برای بسیاری از تحولات معمولاً از همین طریق ایجاد می‌شود. نقاط تناوبی T را در بخش بعدی بررسی خواهیم کرد.

۱.۵.۲ - دور و ۳- دورهای خانواده نگاشت تنت

به ازای $1 \geq \mu \geq 2$ - دور برای نگاشت T_μ ایجاد می‌شود. استفاده از یک برنامه محاسبات رایانه‌ای برای تکرارهای دینامیکی T_μ ، نشان خواهد داد که چطور این اتفاق می‌افتد.
برای $1 > \mu$ ، می‌توان نشان داد که

$$T_\mu^2(x) = \begin{cases} \mu^2 x & 0 \leq x \leq \frac{1}{2\mu} \\ \mu(1-\mu x) & \frac{1}{2\mu} < x \leq \frac{1}{2} \\ \mu(1-\mu + \mu x) & \frac{1}{2} < x \leq 1 - \frac{1}{2\mu} \\ \mu^2(1-x) & 1 - \frac{1}{2\mu} < x \leq 1. \end{cases}$$

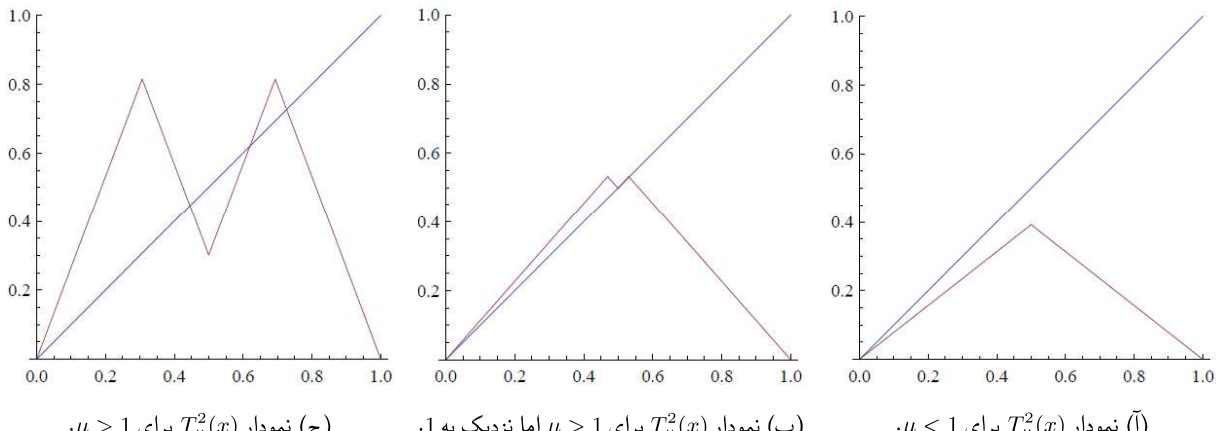
هایدل^۷ در سال ۱۹۹۰ میلادی، با مطالعاتی که روی نگاشت چادر داشت نشان داد که کوچکترین مقدار μ که به ازای آن یک مدار تناوبی از دوره تناوب k وجود دارد، دقیقاً مقداری از μ است که در آن $x = \frac{1}{2}$ نقطه k -تناوبی باشد. بنابراین ۲-دور هنگامی ایجاد می‌شود که $T_\mu^2(\frac{1}{2}) = \frac{1}{2}$. بنابراین $\frac{1}{2} = (1-\mu/2)^2$. پس $\mu = 1 - \frac{1}{4} = \frac{3}{4}$. در نتیجه $1 > \mu > 1 - \frac{1}{2} = \frac{1}{2}$ به وجود می‌آید و برای $1 \leq \mu$ نگاشت هیچ نقطه ۲-تناوبی ندارد.

بنابراین در تعیین نقاط تناوبی با دوره تناوب دو، اگر معادله $x = (1-\mu x)^2 = \frac{\mu}{1+\mu^2}$ را حل کنیم به $c_1 = \frac{\mu}{1+\mu^2}$ و از حل معادله $x = (1-\mu + \mu x)^2 = \frac{\mu^2}{1+\mu^2}$ به $c_2 = \frac{\mu^2}{1+\mu^2}$ می‌رسیم. حل معادله $x = (1-\mu + \mu x)^2 = \frac{\mu^2}{1+\mu^2}$ را نتیجه می‌دهد که همان نقطه ثابت غیرصفر نگاشت T_μ است و حل معادله $x = \mu^2 x$ را به دست می‌دهد. بهوضوح ۲-دور $\{c_1, c_2\}$ ناپایدار است زیرا

$$|(T_\mu^2)'(c_1)| = |T'_\mu(c_1)T'_\mu(c_2)| = \mu^2 > 1.$$

حال به دنبال کوچکترین مقدار μ هستیم که متناظر با آن یک ۳-دور برای T_μ موجود باشد. به روشه مشابه با حالت ۲-دور، به دنبال

⁷Heidel



شکل ۱۱.۲: نمودار $T_\mu^2(x)$ برای μ در نزدیکی ۱.

مقداری از μ هستیم که $T_\mu^3(\frac{1}{2}) = \frac{1}{2}$ و بزرگترین ریشه‌ی این معادله را محاسبه می‌کنیم. چون همانطور که گفتم، در حالت کلی کوچکترین مقدار μ که به ازای آن یک مدار k -تناوبی برای نگاشت چادر وجود دارد، دقیقاً مقداری از μ است که در آن $x = \frac{1}{2}$ نقطه‌ی k -تناوبی باشد. با استفاده از $T_\mu^2(\frac{1}{2}) = \mu(1 - \mu/2)$ و از آنجایی که برای هر مقدار از μ , $\mu(1 - \mu/2) \leq \frac{1}{2}$, پس $\mu(1 - \mu/2) = \frac{1}{2}$ معادل است با $0 = (\mu - 1)(\mu^2 - \mu - 1)$. ریشه‌ی ۱ $\mu = 1$ را نادیده می‌گیریم. در این صورت ریشه‌ی عامل درجه دوم $\mu = \frac{1+\sqrt{5}}{2}$ خواهد بود که کوچکترین مقدار μ است که اولین نقطه‌ی ۳-تناوبی رخ می‌دهد.



شکل ۱۲.۲: ۳-دور برای T_μ برای $\mu \geq \frac{1+\sqrt{5}}{2}$.

بهطور کلی، می‌توان نشان داد که برای $k > 3$ و فرد، اولین مدار k -تناوبی زمانی رخ می‌دهد که μ بزرگترین ریشه‌ی حقیقی معادله‌ی

$$\begin{aligned} P_k(\mu) &= \mu^k - 2\mu^{k-1} + 2\mu^{k-3} - 2\mu^{k-4} + \cdots - 2\mu + 1 \\ &= (\mu - 1)(\mu^{k-1} - \mu^{k-2} - \mu^{k-3} + \mu^{k-4} - \mu^{k-5} + \mu^{k-6} + \cdots + \mu - 1) = 0, \end{aligned}$$

باشد. عبارت $(1 - \mu)$ همواره عاملی از معادله‌ی بالاست. بعداً باز هم به مطالعه‌ی خانواده‌ی نگاشته‌های چادر باز خواهیم گشت.